### サンプリングモアレ法に基づくコンクリート構造物のひび割れ検知手法

鉄道総研 正会員 〇箕浦 慎太郎 鉄道総研 正会員 徳永 宗正 鉄道総研 正会員 渡辺 勉 鉄道総研 正会員 上半 文昭

1. **はじめに** コンクリート構造物に発生するひずみやひび割れは、当該構造物が受けた荷重履歴や耐久性を評価する直接的な指標となるため、その状態あるいは発生するまでの予兆を正確に把握することは維持管理において非常に重要である。特に鉄道構造物では、列車の高速走行により発生する比較的高周波で微細なひずみやひび割れを高精度に計測する手法が求められている。近年画像解析等に基づきコンクリート構造物の変位やひずみを非接触で計測する手法に関する研究が数多く行われているが 1、動的で高精度な微小ひずみやひび割れの計測に対する検証は十分等は言えない。そこで本研究では、微細なひび割れを動的に計測することを目的として、サンプリングモア

レ法を応用したひび割れ検知手法の開発を実施するとともに、本手法の精度検証を実施したので報告する.

2. **ひび割れ検知システムの開発** 図 1 にひび割れ検知シ ステムの概要を示す. 本研究では、これまで主に高精度な 変位やひずみ計測に用いられたサンプリングモアレ法 2)を 応用し、動的に高精度なひび割れ計測が可能なシステムを 開発した. サンプリングモアレ法ではターゲットの形成が 必要であるが、比較的短い露光時間で、サブピクセルでの 高精度な計測が可能であり、画像解析時の計算負荷が少な いという利点がある<sup>3)</sup>. ターゲットは**図 1(b)**に示すような 格子模様である(以下、格子状ターゲット). 格子状ターゲ ットの領域や格子サイズは任意に設定可能であり、その分 解能は格子ピッチの 1/500 である. 本研究ではコンクリー トのひび割れ計測に適用するために、後述するスタンプ及 びカッティングシートを用いたひび割れに追随するターゲ ット形成方法を提案した. 本システムでは構造物に発生す る微小なひび割れを動的に検知るために,200 万画素で最 大 170fps での撮影が可能な CMOS モノクロカメラを使用 した.

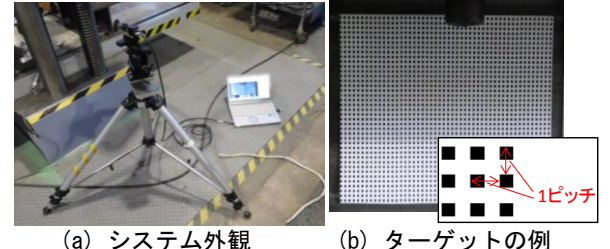
図2にひび割れ検知手法の概要を示す.本研究では、撮影したひび割れ発生前後の画像から、サンプリングモアレ法を用いてターゲット領域内の相対変位を高精度に計測し、その差を求めることで微小なひび割れを検知し可視化することが可能なアルゴリズムを開発した.ひび割れ計測の際には、図2に示すように、ひび割れの発生が予測される地点の周辺にあらかじめ格子状ターゲットを設置しておき、その範囲内をさらに微小な領域に分割し、その分割した領域とでひび割れ発生前後の相対変位を算出する.相対変位算出後、隣り合う領域間で相対変位の差を計算し、その差が閾値よりも大きな領域でひび割れが発生したとみなし検知する.また、ひび割れ発生位置が分かっている場合には、ターゲット内で任意に領域を指定し、その領域間の相対変位を計測することでもひび割れ幅の算出が可能である.

# 3. 開発したシステムの検証

#### 3.1 検証方法

(1)模型橋梁を対象とした動的試験 図3に対象とした鋼製の模型橋梁とひび割れ計測位置を示す。スパン中央にひび割れを模擬した鋼製の模型橋梁を用いて、本システムの動的計測への適用性についての検証を行った。比較対象として、パイ型変位計を用いた計測も同時に行った。格子状ターゲットのピッチは1mmピッチ(分解能は0.002mm)とし、パイ型変位計の上下にマグネット接着して配置した。なお、ひび割れ検知システムとパイ型変位計との比較の際には、模擬ひび割れ発生位置の断面においては平面保持が成り立つものとし、パイ型変位計の上下に設置された格子状ターゲットから得られた変位を、パイ型変位計と同じ位置の変位に換算することにより比較した。模型の加振は起振器((株)サンエス製 SSV-125)により実施した。

(2) PC まくらぎを対象とした曲げ破壊試験 図4に対象とした PC まくらぎと曲げ試験の状況を示す. 曲げ試験は JIS



(a) システム外観 (b) ターゲット 図1 ひび割れ検知システムの概要

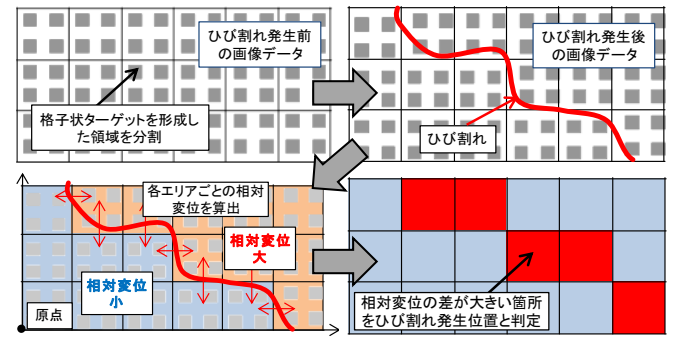


図2 ひび割れ検知手法の概要

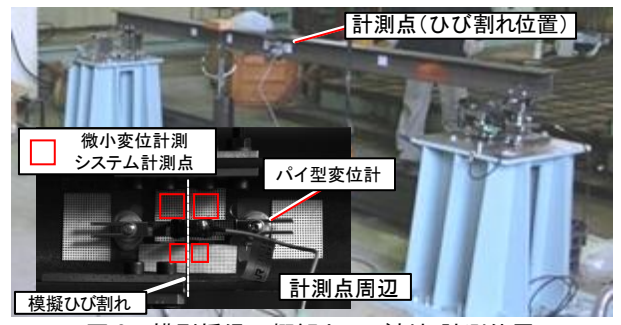


図3 模型橋梁の概観とひび割れ計測位置

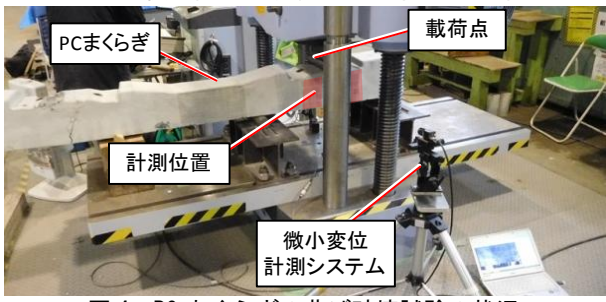


図4 PC まくらぎの曲げ破壊試験の状況



(a) カッティングシート(b) スタンプ図 5 PC まくらぎに形成した格子状ターゲット

E1201 に基づきレール位置での正曲げ試験を実施した. 載荷ス パンは 700mm である.  $\mathbf{図5}$  に形成したターゲットを示す. 今 回の試験では、コンクリートのひび割れに追随するターゲット の作成方法の検討として、カッティングシート(図 5(a)、格子 ピッチ 10mm) とスタンプ (図 5(b), 格子ピッチ 2mm) の 2 種類 の方法により格子状ターゲットを形成し, ひび割れの発生, ひ び割れの分布及びひび割れの幅が検知可能であるか検証を行 った.

# 3.2 検証結果

(1)模型橋梁を用いた動的試験 図6に模型橋梁を用いた計測 結果を示す. 図6より, 本システムが0.1mm程度より微小な 変位領域に対してもパイ型変位計と同程度の精度でひび割れ 幅を検出可能であることがわかる.また実際のコンクリート構 造物の計測で対象となる 20Hz 程度以下の動的な挙動に対して も,150fps で撮影することでその挙動を高精度にとらえること が可能であることが確認でき,実際構造物におけるひび割れの 動的計測に対応可能であると考えられる.

(2) PC まくらぎを対象とした曲げ破壊試験 図 7 に曲げ試験 時の荷重変位曲線及び、ひび割れを挟む位置のターゲットの相 対変位と載荷荷重の関係を示す. なお、PC まくらぎの曲げ試 験ではひび割れは複数個所に発生するが、図7で対象とした ひび割れは載荷点の直下に発生したひび割れである. 図 7(b) でターゲット間の相対変位の増加の度合いが大きくなる点(変 曲点)でひび割れが発生した. 今回の計測では、PC まくらぎ 2により細かい格子ピッチのターゲットを用いたため、ノイズ の少ない計測結果が得られた. 図7よりひび割れ幅と載荷荷 重の関係を把握 することができる. また,表1 に曲げ試験 時の目視と本システムでのひび割れ発生を検知した荷重の比 較を示す. ひび割れ検知システムにおけるひび割れ発生荷重は, 図 7(b)の変曲点の荷重である.表より、本システムは目視よ りも早い段階でひび割れの発生を検知可能であることがわか る. またひび割れ幅と載荷荷重の関係より, ひび割れ計測の結 果から構造物の載荷荷重などを評価ができる可能性を示した.

図8に本計測で得られたPCまくらぎのひび割れ分布図を示 す. 図 8 では、図 7(b)での変曲点の相対変位を閾値として用 いた. 図8(c)は図8(b)で算出した相対変位の差を求めることで 算出した. 図8より、PCまくらぎに発生したひび割れの分布 を検知可能であることがわかった.

以上の結果より,あらかじめひび割れ幅と荷重の関係を本シ ステムや数値解析で把握しておくことで,実構造物においても ひび割れ計測結果から作用した荷重等を推定できる可能性が あることがわかった. 実構造物におけるひび割れ検知の閾値の 決定方法は,撮影画像中に目視可能なひび割れがある場合には そのひび割れ幅を計測して決定する方法や,目視可能なひび割 れが存在しない場合には既往の計測結果や数値解析結果等か ら決定する方法等が考えられる.

4. まとめ 本研究で得られた知見は以下の通りである. (1) 本研究で開発したサンプリングモアレ法に基づくひび割れ検 知システムは,構造物の微小な動的変位も計測可能であること を確認した. (2)PC まくらぎを用いた曲げ破壊試験より, ひび 割れの発生やひび割れの分布を検知可能であることを確認し た. 今後は本システムを用いた橋梁や高架橋等の実構造物の計 測の実施,遠距離計測手法やカメラの振動抑制手法の開発を行 う予定である.

#### 参考文献

pp303-308, 2015

1) 出水享他:デジタル画像相関法を用いた撤去 PCT 桁橋の載荷試験 時における変位,ひずみ,ひび割れ計測,コンクリート工学論文集, Vol34, No.2, pp.1411-1416, 2012

2) 玉井博貴他:サンプリングモアレ法による土木構造物の変位・変位

角・振動数等の計測,建設コンサルタンツ協会近畿支部研究発表会論集,N0.46,pp.112-1~112-6,2013 3)李志遠他:面内変位分布計測におけるデジタル画像相関法とサンプリングモアレ法の比較研究,実験力学, Vol.15, No.4,

微小変位計測システム ひび害児4幅(mm) 0.01 パイ型変位計 -0.01 n 0.5 1.5 時間(s) (a) 10Hz で加振 微小変位計測システム

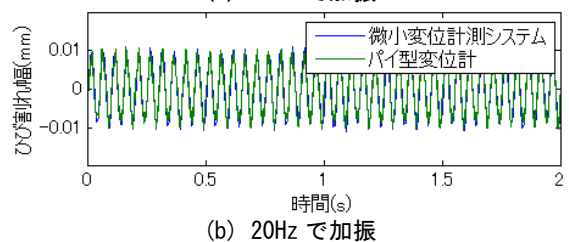
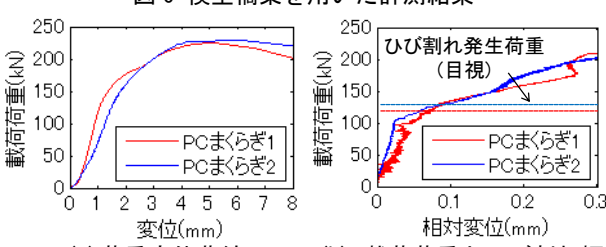


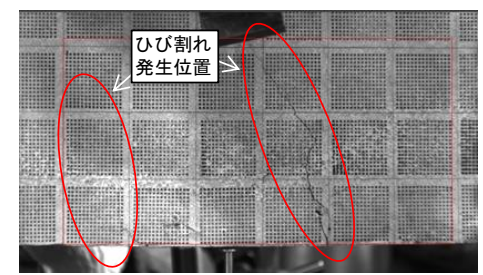
図6模型橋梁を用いた計測結果



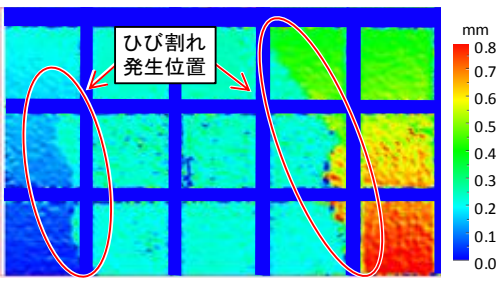
(a) 荷重変位曲線 (b) 載荷荷重とひび割れ幅 図 7 載荷荷重とひび割れ幅の関係

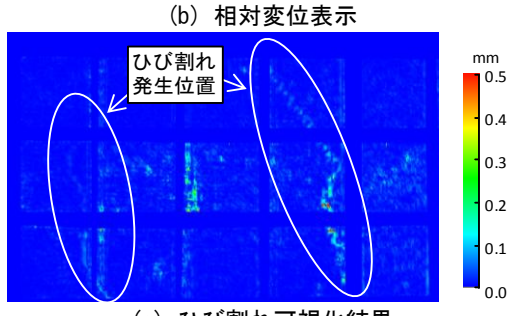
表 1 ひび割れ発生荷重

	ターゲット	目視	システム
PC まくらぎ 1	カッティングシート	130kN	102kN
PC まくらぎ 2	スタンプ	120kN	105kN



計測範囲及びひび割れ発生状況 (a)





(c) ひび割れ可視化結果 図8 ひび割れ分布